

01.1

## **Моделирование процесса отклонения релятивистских частиц в осевых и плоскостных каналах кристалла кремния**

© В.П. Кошчев, Д.А. Моргун, Ю.Н. Штанов

НИУ МАИ, филиал „Стрела“, Жуковский  
Сургутский государственный университет ХМАО-Югры, Сургут  
E-mail: koshcheev1@yandex.ru

Поступило в Редакцию 9 июня 2013 г.

Моделирование процесса отклонения протонов и  $\pi^-$ -мезонов в осевых и плоскостных каналах изогнутого кристалла кремния выполнено с помощью численного решения кинетического уравнения Фоккера–Планка как в фазовом пространстве поперечных координат и скоростей, так и в пространстве поперечных энергий. Обсуждаются причины формирования углового распределения пучка  $\pi^-$ -мезонов с двумя максимумами в плоскостном канале кристалла, которое было представлено нами в предыдущей работе. Показано, что результаты моделирования в пространстве поперечных энергий и в фазовом пространстве поперечных координат и скоростей достаточно близки между собой для протонов, но несколько различаются для  $\pi^-$ -мезонов.

Задача исследования процесса отклонения высокоэнергетических частиц с помощью изогнутых кристаллов относится к числу актуальных задач настоящего времени [1–3]. В цели данной работы входит задача моделирования угловых распределений протонов и  $\pi^-$ -мезонов изогнутым кристаллом кремния с помощью новой версии компьютерной программы TROPICS („Trajectory Of Particle In a Crystal“ Simulator) [4]. Основу компьютерной программы TROPICS составляет метод компьютерного моделирования траекторий каналированных частиц в пространстве поперечных энергий [5]. Новая версия компьютерной программы TROPICS включает в себя также численное решение кинетического уравнения Фоккера–Планка в пространстве поперечных координат и скоростей методом компьютерного моделирования траекторий каналированных частиц.

Эволюция плотности каналированных частиц в пространстве поперечных координат и скоростей описывается кинетическим уравнением Фоккера–Планка, которое имеет вид [6,7]

$$\begin{aligned} \frac{\partial f}{\partial t} + \dot{x} \frac{\partial f}{\partial x} + \dot{y} \frac{\partial f}{\partial y} - \frac{\bar{U}_x}{m} \frac{\partial f}{\partial \dot{x}} - \frac{\bar{U}_y}{m} \frac{\partial f}{\partial \dot{y}} \\ = \frac{D_{xx}}{2m^2} \frac{\partial^2 f}{\partial \dot{x}^2} + \frac{D_{xy}}{m^2} \frac{\partial^2 f}{\partial \dot{x} \partial \dot{y}} + \frac{D_{yy}}{2m^2} \frac{\partial^2 f}{\partial \dot{y}^2}, \end{aligned} \quad (1)$$

где  $f = f(x, y, \dot{x}, \dot{y}, t)$  — функция распределения частиц по поперечным координатам и скоростям в момент времени  $t$ ;  $D_{xx} = D_{xx}(x, y)$ ,  $D_{xy} = D_{xy}(x, y)$ ,  $D_{yy} = D_{yy}(x, y)$  — компоненты коэффициента диффузии;  $\bar{U}_x = \partial \bar{U} / \partial x$ ,  $\bar{U}_y = \partial \bar{U} / \partial y$ ,  $\bar{U} = \bar{U}(x, y)$  — непрерывный потенциал, образованный атомными цепочками;  $m = \gamma m_0$ ;  $\gamma = (1 - \beta^2)^{-1/2}$  — Лоренц-фактор;  $\beta = v/c$ ;  $c$  — скорость света;  $v$  — скорость заряженной частицы в направлении оси  $OZ$ ;  $m_0$  — масса покоя.

Если ядерный коэффициент диффузии вычисляется в приближении Китагавы–Оцуки [6], а электронный коэффициент диффузии вычисляется в приближении локальной электронной плотности [8], то, как было показано в [9,10],  $D_{xx} = D_{yy}$  и  $D_{xy} = 0$ .

Решение уравнения (1) будем искать методом малого шума [11]. Решение запишем в виде символического ряда теории возмущений

$$f = f^{(0)} + f^{(1)} + \dots$$

В нулевом приближении пренебрегаем многократным рассеянием, т.е. полагаем все компоненты коэффициента диффузии равными нулю, тогда

$$\frac{\partial f^{(0)}}{\partial t} + \dot{x} \frac{\partial f^{(0)}}{\partial x} + \dot{y} \frac{\partial f^{(0)}}{\partial y} - \frac{\bar{U}_x}{m} \frac{\partial f^{(0)}}{\partial \dot{x}} - \frac{\bar{U}_y}{m} \frac{\partial f^{(0)}}{\partial \dot{y}} = 0. \quad (2)$$

Решение уравнения Лиувилля (2) можно представить в виде произведения четырех дельта-функций Дирака

$$f^{(0)} = \delta(x - \bar{x})\delta(y - \bar{y})\delta(\dot{x} - \bar{\dot{x}})\delta(\dot{y} - \bar{\dot{y}}),$$

где  $\dot{\bar{x}} = d\bar{x}/dt$ ,  $\dot{\bar{y}}(t) = d\bar{y}(t)/dt$ ;  $\bar{x}(t)$ ,  $\bar{y}(t)$  — являются решением системы уравнений

$$\begin{cases} m\ddot{\bar{x}} = -\frac{\partial \bar{U}_{eff}(\bar{x}, \bar{y})}{\partial \bar{x}}, \\ m\ddot{\bar{y}} = -\frac{\partial \bar{U}_{eff}(\bar{x}, \bar{y})}{\partial \bar{y}} \end{cases} \quad (3)$$

со следующими начальными условиями:  $\bar{x}_0 = \bar{x}(0)$ ,  $\bar{y}_0 = \bar{y}(0)$ ,  $\dot{\bar{x}}_0 = \dot{\bar{x}}(0)$ ,  $\dot{\bar{y}}_0 = \dot{\bar{y}}(0)$ , где  $\bar{U}_{eff}(x, y) = \bar{U}(x, y) - pv_x/R_x - pv_y/R_y$ ;  $R_x, R_y$  — радиусы изгиба кристалла в направлении оси  $OX$  и  $OY$  соответственно, которые изменяются с глубиной  $z$ ;  $z = vt$ ;  $p$  — импульс каналированной частицы.

Пусть  $\delta x = (x - \bar{x})$ ,  $\delta \dot{x} = (\dot{x} - \dot{\bar{x}})$ ,  $\delta y = (y - \bar{y})$ ,  $\delta \dot{y} = (\dot{y} - \dot{\bar{y}})$  — флуктуации поперечных координат и скоростей. Следуя [11], построим уравнение Фоккера–Планка в первом порядке теории возмущений

$$\begin{aligned} \frac{\partial f^{(1)}}{\partial t} + \delta \dot{x} \frac{\partial f^{(1)}}{\partial \delta x} + \delta \dot{y} \frac{\partial f^{(1)}}{\partial \delta y} - \frac{[\bar{U}_{xx}(\bar{x}, \bar{y})\delta x + \bar{U}_{xy}(\bar{x}, \bar{y})\delta y]}{m} \frac{\partial f^{(1)}}{\partial \delta \dot{x}} \\ - \frac{[\bar{U}_{xy}(\bar{x}, \bar{y})\delta x + \bar{U}_{yy}(\bar{x}, \bar{y})\delta y]}{m} \frac{\partial f^{(1)}}{\partial \delta \dot{y}} = \frac{D(\bar{x}, \bar{y})}{2m^2} \left( \frac{\partial^2 f^{(1)}}{\partial \delta x^2} + \frac{\partial^2 f^{(1)}}{\partial \delta y^2} \right). \end{aligned} \quad (4)$$

С помощью уравнения (4) построим систему уравнений для вторых моментов, следуя (см., например, [12])

$$\begin{aligned} \frac{d}{dt} \overline{\delta x^2} &= 2\overline{\delta x \delta \dot{x}}, \\ \frac{d}{dt} \overline{\delta x \delta \dot{x}} &= \overline{\delta \dot{x}^2} - \frac{1}{m} \left( \overline{U_{xx} \delta x^2} + \overline{U_{xy} \delta x \delta y} \right), \\ \frac{d}{dt} \overline{\delta \dot{x}^2} &= -\frac{2}{m} \left( \overline{U_{xx} \delta x \delta \dot{x}} + \overline{U_{xy} \delta \dot{x} \delta y} \right) + \frac{D_{xx}}{m^2}, \\ \frac{d}{dt} \overline{\delta x \delta y} &= \overline{\delta \dot{x} \delta y} + \overline{\delta x \delta \dot{y}}, \\ \frac{d}{dt} \overline{\delta \dot{x} \delta y} &= -\frac{1}{m} \left( \overline{U_{xx} \delta x \delta y} + \overline{U_{xy} \delta y^2} \right) + \overline{\delta \dot{x} \delta \dot{y}}, \\ \frac{d}{dt} \overline{\delta x \delta \dot{y}} &= -\frac{1}{m} \left( \overline{U_{yy} \delta x \delta y} + \overline{U_{xy} \delta x^2} \right) + \overline{\delta \dot{x} \delta \dot{y}}, \end{aligned}$$

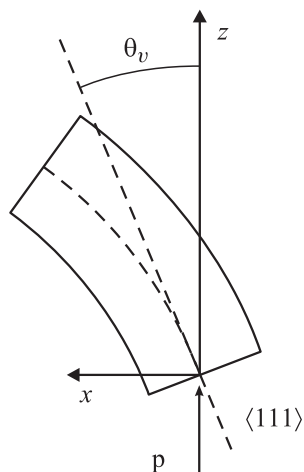
$$\begin{aligned}
\frac{d}{dt} \overline{\delta x \delta y} &= -\frac{1}{m} (\overline{U_{xx} \delta x \delta y} + \overline{U_{xy} \delta y \delta y} + \overline{U_{yy} \delta x \delta y} + \overline{U_{xy} \delta x \delta x}) \\
&\quad + \frac{D_{xy}}{2m^2} + \frac{D_{yx}}{2m^2}, \\
\frac{d}{dt} \overline{\delta y^2} &= 2\overline{\delta y \delta \dot{y}}, \\
\frac{d}{dt} \overline{\delta y \delta \dot{y}} &= \overline{\delta \dot{y}^2} - \frac{1}{m} (\overline{U_{yy} \delta y^2} + \overline{U_{xy} \delta x \delta \dot{y}}), \\
\frac{d}{dt} \overline{\delta \dot{y}^2} &= -\frac{2}{m} (\overline{U_{yy} \delta y \delta \dot{y}} + \overline{U_{xy} \delta x \delta \dot{y}}) + \frac{D_{yy}}{m^2}. \quad (5)
\end{aligned}$$

Система уравнений (5) в точности совпадает с системой уравнений, которая была получена в рамках ланжевеновского подхода к теории каналирования [13]. Решение кинетического уравнения Фоккера–Планка (1) производится с помощью метода компьютерного моделирования траекторий каналированных частиц [14]. Переопределение значений координат и скоростей производится случайным образом при помощи соотношений

$$\begin{cases} \overline{x} = \text{RandG}(\overline{x}, \sqrt{\overline{\delta x^2}}), & \overline{y} = \text{RandG}(\overline{y}, \sqrt{\overline{\delta x^2}}) \\ \overline{\dot{x}} = \text{RandG}(\overline{\dot{x}}, \sqrt{\overline{\delta \dot{x}^2}}), & \overline{\dot{y}} = \text{RandG}(\overline{\dot{y}}, \sqrt{\overline{\delta \dot{x}^2}}), \end{cases} \quad (6)$$

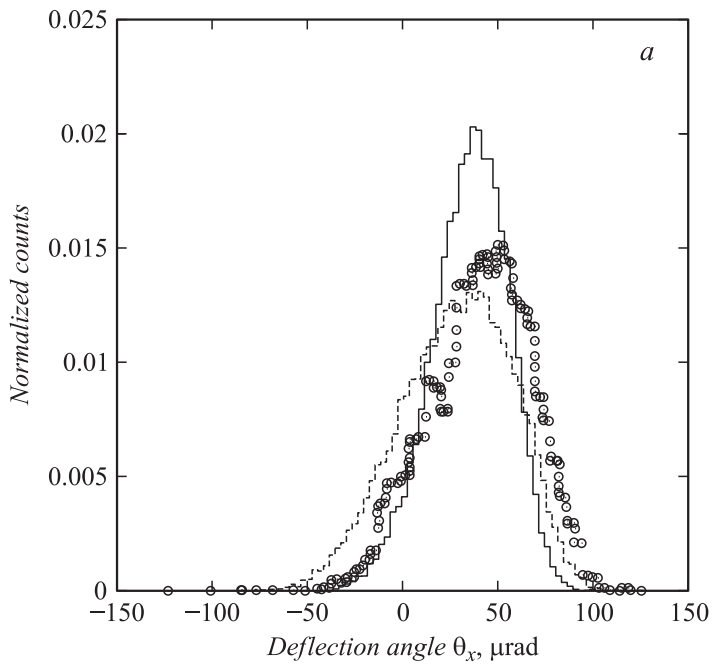
где функция *RandG* генерирует случайную величину, удовлетворяющую нормальному распределению с заданным математическим ожиданием и дисперсией согласно алгоритму [15].

Переопределение запрещается, если после предыдущего переопределения пройдено расстояние меньше  $\tau_{\min}$ . Расстояние  $\tau_{\min}$  определяется некоторым минимальным количеством столкновений частицы с атомами кристалла. Программный комплекс TROPICS основан на численном решении системы уравнений (3), (5) и (6). Используется кубическая эрмитовая сплайн-аппроксимация коэффициента диффузии и поперечной силы, численные значения которых были первоначально вычислены с помощью разложения в двойной тригонометрический ряд Фурье. Учитывались структурный и атомный форм-факторы, а также фактор Дебая–Валлера. Температура кристалла считалась равной 294 К. Для потенциала изолированного атома использовалось приближение Мольер [16]. Схема эксперимента представлена на рис. 1.



**Рис. 1.** Схема эксперимента [1–3].

Следуя [1–3], были приняты обозначения, а именно: в плоскости  $XOZ$  лежат как радиус изгиба  $R_x$  плоскости (110), так и углы наклона  $\theta_v$  оси  $\langle 111 \rangle$  кристалла кремния и вылета частиц  $\theta_x$ , которые измерялись относительно первоначального направления пучка. Угол разориентации между осью  $\langle 111 \rangle$  и направлением падения частиц в плоскости (110) был взят равным  $5 \mu\text{rad}$ , так как в работе [2] не было указано его значение. Начальные значения точек влета были равномерно распределены в следующих пределах  $\Delta x \Delta y = 0.5 \text{ mm} \cdot \Delta 2 \text{ mm} = 1 \text{ mm}^2$ , а углы влета нормально распределены вокруг среднего значения согласно алгоритму [15]. Модельное среднеквадратичное отклонение, которое определяет угловую расходимость пучка частиц, было выбрано равным экспериментальному [1,2]. В компьютерном эксперименте учитывалось угловое разрешение детектирующей системы  $\Delta\theta_x = \Delta\theta_y = 3 \mu\text{rad}$ . Толщина кристалла была  $0.98 \text{ mm}$ . Для численного решения системы дифференциальных уравнений движения применялся метод Рунге–Кутты 4 порядка точности с шагом интегрирования  $20 \text{ nm}$ . Расстояние  $\tau_{\min}$  было равным  $200 \text{ nm}$ . Расчеты были произведены для  $20\,000$  частиц. На рис. 2 представлены экспериментальные [1,2] и расчетные угловые распределения  $\pi^-$ -мезонов с энергией  $150 \text{ GeV}$ , которые отклонялись



**Рис. 2.** Угловое распределение  $\pi^-$ -мезонов с энергией 150 GeV за кристаллом Si,  $\langle 111 \rangle$ , кружки — [1] (a) и за кристаллом Si,  $\langle 110 \rangle$ , кружки — [2] (b). Сплошная линия — расчет в пространстве поперечных координат и скоростей; пунктирная линия — расчет в пространстве поперечных энергий. Радиус изгиба кристалла 22.79 м. Расходимость пучка  $10 \mu\text{rad}$  (a) и  $5 \mu\text{rad}$  (b). Угол  $\theta_y = 0 \mu\text{rad}$ .

изогнутым кристаллом кремния в направлении оси  $\langle 111 \rangle$  и плоскости  $\langle 110 \rangle$  соответственно. Экспериментальные [1,2] и расчетные значения были нормированы так, что площадь под каждой гистограммой равна единице. Результаты моделирования в пространстве координат и скоростей и в пространстве поперечных энергий представлены сплошной и пунктирной гистограммами соответственно. Видно, что согласие между результатами эксперимента и моделированием является удовлетворительным. Необходимо отметить, что в работе [5] качественное согласие результатов расчета в пространстве поперечных энергий с экспериментом было достигнуто при радиусе изгиба кристалла в

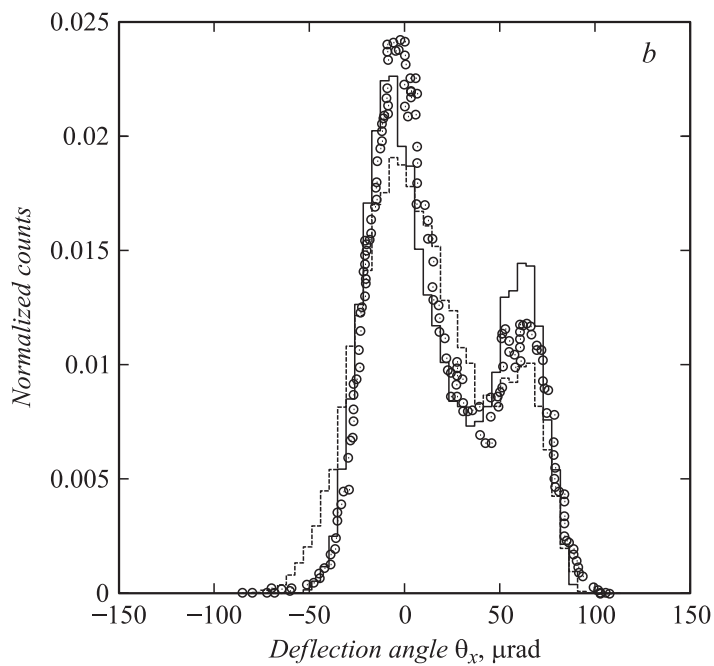
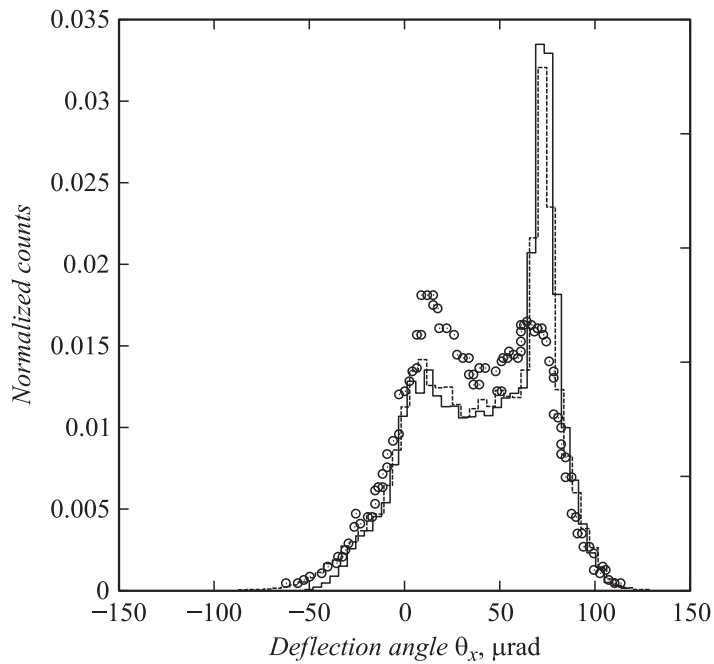


Рис. 2 (продолжение).

четыре раза больше, чем в эксперименте [2]. Это было связано с тем, что переопределение координат и скоростей в [5] запрещалось, если после предыдущего переопределения средний квадрат флуктуаций поперечной энергии был меньше некоторого минимального значения. Анализ показал, что этот критерий переопределения координат и скоростей постоянно срабатывал в области максимальной ядерной плотности, что и приводило к формированию углового распределения с двумя максимумами в прямом кристалле. При каналировании положительно заряженных частиц розыгрыш происходил с одинаковой вероятностью в любой точке плоскостного или осевого канала. Тем не менее в новой версии компьютерной программы TROPICS переопределение координат и скоростей как в пространстве поперечных энергий, так и в фазовом пространстве поперечных координат и скоростей запрещается.



**Рис. 3.** Угловое распределение протонов с энергией 400 GeV за кристаллом Si,  $\langle 111 \rangle$ . Кружки — [3]; сплошная линия — расчет в пространстве поперечных координат и скоростей; пунктирная линия — расчет в пространстве поперечных энергий. Радиус изгиба кристалла 40 м. Расходимость пучка  $5 \mu\text{rad}$ . Угол  $\theta_v = 0 \mu\text{rad}$ .

ется, если после предыдущего переопределения пройдено расстояние меньше  $\tau_{\min}$ , а критерий отбора по среднему квадрату флуктуаций динамической переменной положен равным нулю. На рис. 3 представлены экспериментальные [3] и расчетные угловые распределения протонов с энергией 400 GeV, которые отклонялись изогнутым кристаллом кремния в направлении оси  $\langle 111 \rangle$ . Результаты моделирования в фазовом пространстве координат и скоростей и в пространстве поперечных энергий представлены сплошной и пунктирной гистограммами соответственно. Видно, что согласие между результатом [5] и моделированием в рамках новой версии компьютерной программы

TROPICS является удовлетворительным. Если кристалл дополнительно разориентировать на  $14 \mu\text{rad}$  в направлении, перпендикулярном атомной плоскости (110), то согласие между расчетами и экспериментом [3] будет достаточно хорошим, как это было показано в [5]. Более четверти века тому назад авторы работы [17] пришли к заключению, что кинетическое уравнение Фоккера–Планка в пространстве поперечных энергий не описывает эффект каналирования тяжелых отрицательно заряженных частиц ( $\pi^-$ -мезонов, антипротонов и др.) в диапазоне энергий до  $100 \text{ GeV}$ , так как нарушаются условия адиабатического приближения. Результаты моделирования, которые представлены на рис. 2 могут свидетельствовать в пользу этой гипотезы, но, очевидно, необходимы дополнительные теоретические и экспериментальные исследования. Исходя из вышеизложенного можно сделать вывод, что построенные в двадцатом веке непрерывные потенциалы, электронные и ядерные коэффициенты диффузии, уравнения Фоккера–Планка в фазовом пространстве и в пространстве энергий поперечного движения дают удовлетворительное описание эффектов осевого и плоскостного каналирования релятивистских протонов и  $\pi^-$ -мезонов в пределах границ их применимости.

## Список литературы

- [1] Scandale W., Vomiero A., Bagli E. et al. // Phys. Lett. B. 2009. V. 680. P. 301–304.
- [2] Scandale W., Vomiero A., Bagli E. et al. // Phys. Lett. B. 2009. V. 681. P. 233–236.
- [3] Scandale W., Vomiero A., Baricordi S. et al. // Phys. Rev. Lett. 2008. V. 101. P. 164 801.
- [4] <http://wwwinfo.jinr.ru/programs/jinrlib/tropics/index.html>
- [5] Коцеев В.П., Моргун Д.А., Штанов Ю.Н. // Письма в ЖТФ. 2012. Т. 38. В. 12. С. 87–94.
- [6] Kitagawa M., Ohtsuki Y.H. // Phys. Rev. B. 1973. V. 8. N 7. P. 3117–3123.
- [7] Белошутский В.В., Кумахов М.А., Рябов В.А. // ЖЭТФ. 1984. Т. 87. В. 3. С. 878–884.
- [8] Gemmel D.S. // Rev. Mod. Phys. 1974. V. 46. N 1. P. 129–235.
- [9] Коцеев В.П. // Изв. вузов. Физика. 1997. № 8. С. 32–37.
- [10] Коцеев В.П., Моргун Д.А., Панина Т.А. // Стохастическая динамика эффекта каналирования в кристаллах и нанотрубках: монография. Ханты-Мансийск: Полиграфист, 2008. 100 с.

- [11] *Гардинер К.В.* Стохастические методы в естественных науках. М.: Мир, 1986. 527 с.
- [12] *Рытов С.М.* Введение в статистическую радиофизику. Ч. I. Случайные процессы. М.: Наука, 1976. 484 с.
- [13] *Кощев В.П., Моргун Д.А.* // Поверхность. Рентген-, синхротр. и нейтр. исслед. 1998. № 5. С. 5–11.
- [14] *Кощев В.П.* // Изв. вузов. Физика. 1990. № 4. С. 123–124.
- [15] *Marsaglia G., Bray T.A.* // SIAM Rev. 1964. V. 6. N 3. P. 260–264.
- [16] *Molière G.* // Z. Naturforsch. A. 1947. V. 2. P. 133–145.
- [17] *Базылев В.А., Глебов В.И., Головизнин В.В.* // ЖЭТФ. 1986. Т. 91. В. 1(7). С. 25–36.